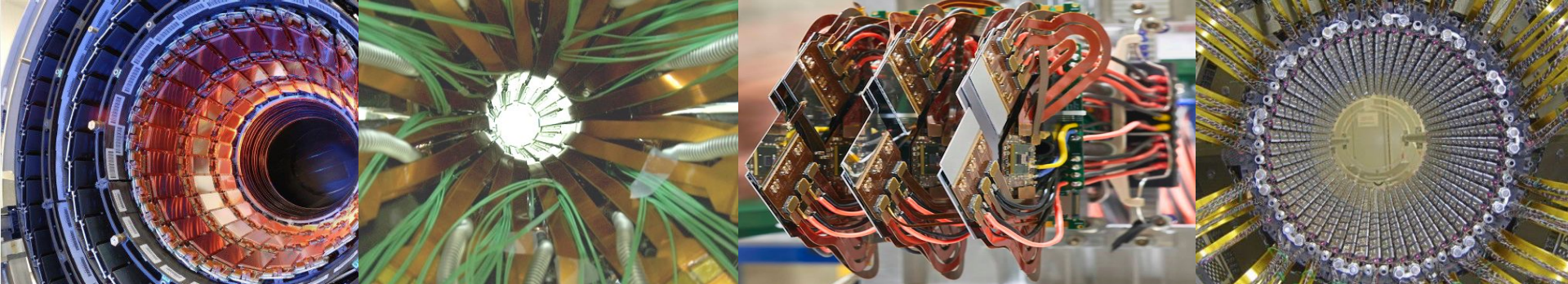


Detectores semicondutores em física de altas energias

Antonio Vilela Pereira (CMS & UERJ), Carla Bonifazi (CONNIE & UFRJ),
Irina Nasteva (LHCb, CONNIE & UFRJ), Marco Leite (ATLAS & USP)



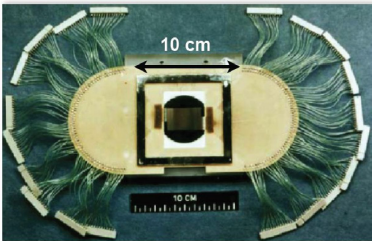
Detectores semicondutores

A tecnologia mais avançada de detectores, com amplo uso na física de altas energias devido a sua precisão e características favoráveis:

- Altíssima resolução espacial – segmentados em pequenos elementos (pixels/tiras).
- Reconstrução precisa de vértices primários e secundários (tempo de decaimento), parâmetro de impacto.
- Boa resolução temporal – curtos tempos de coleta.
- Excelente resolução de energia – linearidade, grandes amplitudes dos sinais.
- Mecanicamente estáveis – facilidade de manusear, podem operar em vácuo.
- Compactos, pouco material para não deteriorar medidas de trajetórias.
- Usados perto do ponto de colisão – o desafio é obter alta resistência a radiação (refriamento).

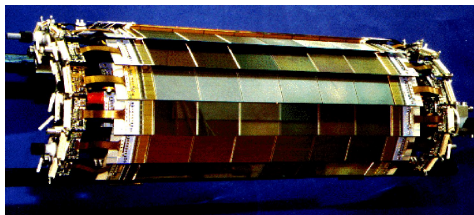
1982

Primeiro uso em NA11



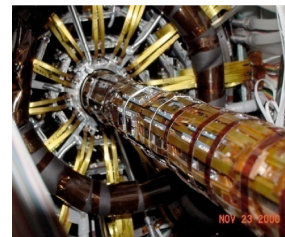
1989

Experimentos no LEP
(DELPHI)



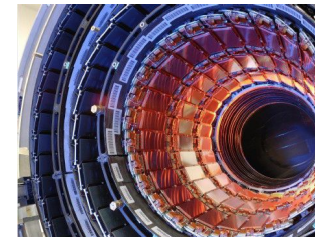
1989

Tevatron (CDF)

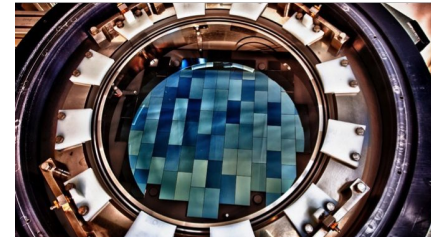


2008

LHC (CMS)

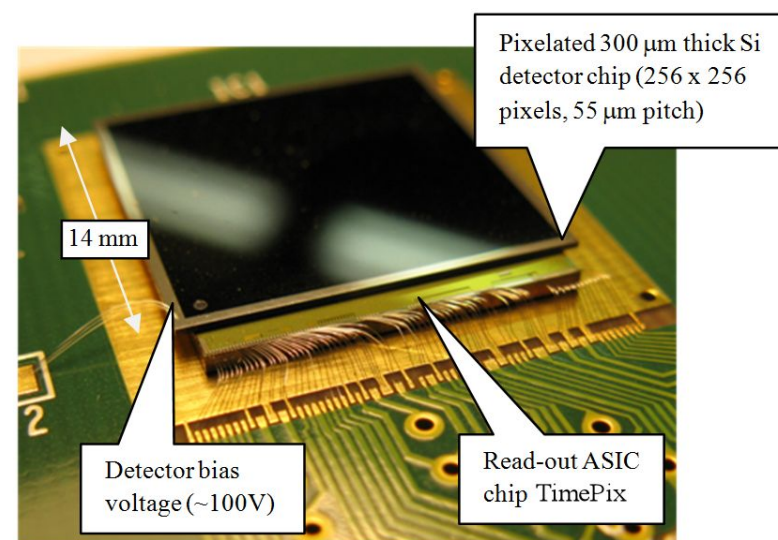
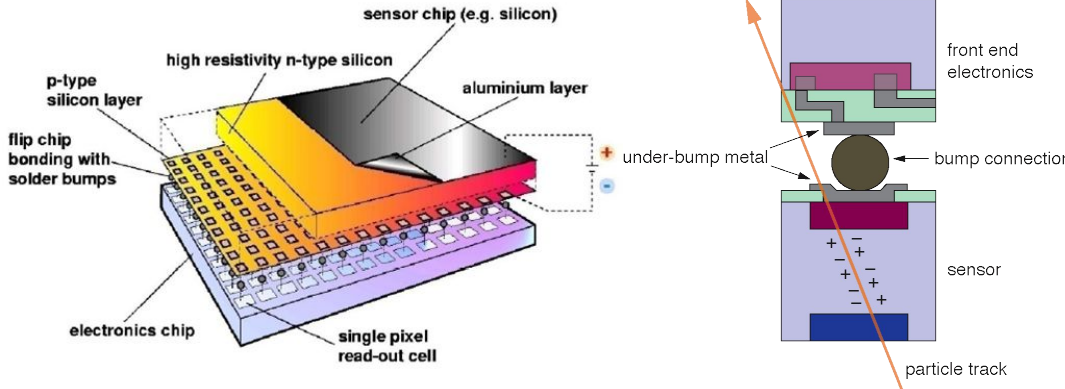


CCDs em astronomia
2010 - DAMIC



Aplicações

- Detectores semicondutores são desenvolvidos para a física de partículas e usados em várias áreas: imageamento médico, dosimetria, indústria aeroespacial...
- Um exemplo muito bem sucedido do detector híbrido de pixel Timepix3:

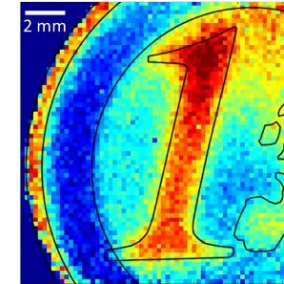
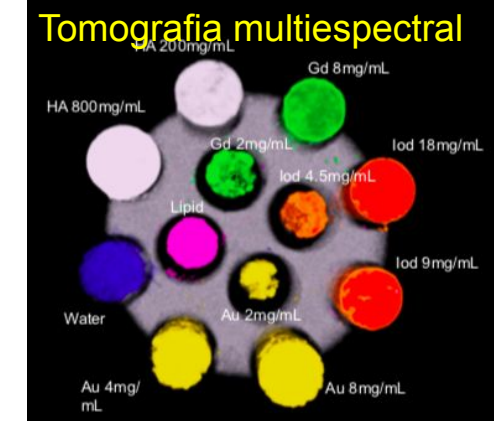


Cada pixel tem sua eletrônica analógica e digital
Bump-bonding entre sensor e ASIC chip
Pouco espaço morto
Possibilidade de usar variados sensores: Si, CdTe, GdAs, etc.

Desenvolvido no CERN
<https://medipix.web.cern.ch>

Aplicações

- Detectores semicondutores são desenvolvidos para a física de partículas e usados em várias áreas: imageamento médico, dosimetria, indústria aeroespacial...
- Um exemplo muito bem sucedido do detector híbrido de pixel Timepix3:



- + Dosimetria no ATLAS
- + Microscopia de elétrons
- + Imagens de raios-x
- + Câmeras óticas

<https://kt.cern/technologies/timepix3>

Aplicações

First 3D colour X-ray of a human using CERN technology

First human scanned with next-generation 3D colour scanner using CERN technology

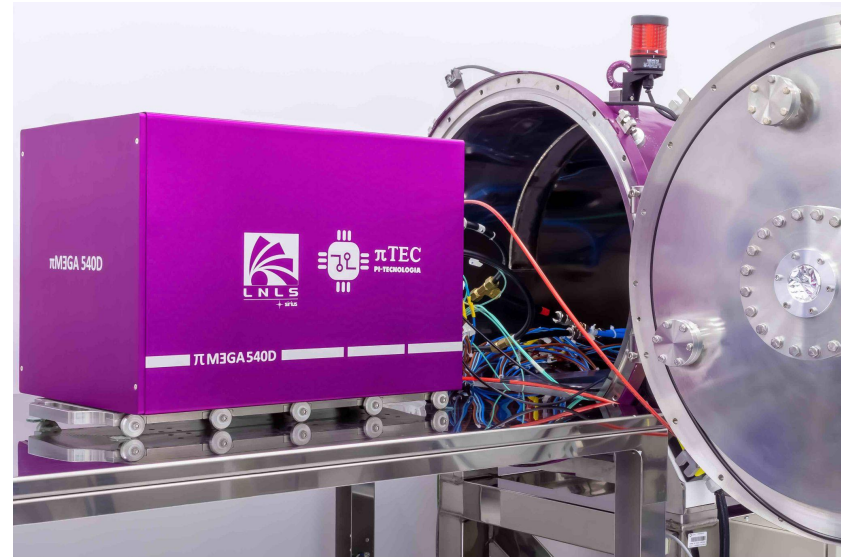
17 JULY, 2018 | By Romain Muller



Timepix3, one of the read-out chips of Medipix (Image: CERN)

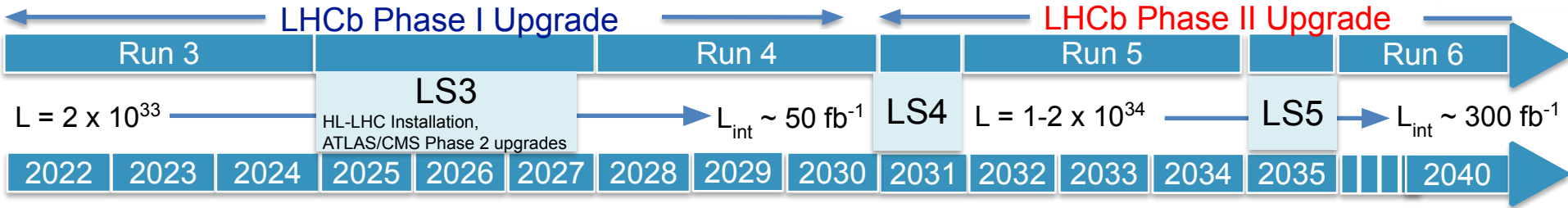


Indústria brasileira: Pitec desenvolve detectores de raios-x baseados no Medipix3RX em colaboração com Sirius



Apresentação de Larissa Mendes RENAAE 2022
<https://indico.cern.ch/event/1124802/contributions/4834533/>

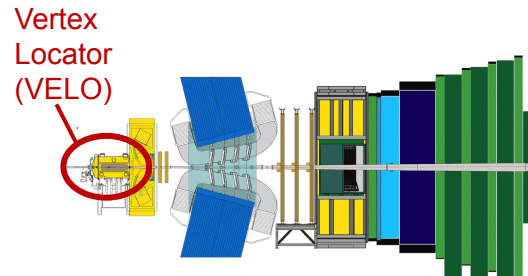
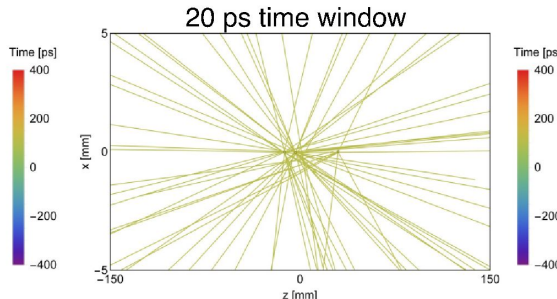
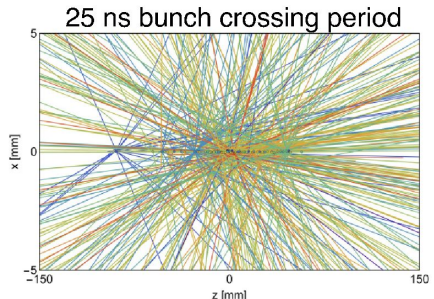
Sensores para alta luminosidade



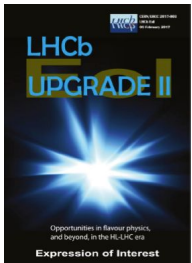
Grandes desafios experimentais para o futuro detector de vértices VELO do LHCb no LHC com alta luminosidade:

- Alta multiplicidade e densidade dos traços (50 pileup/colisão).
- Altas taxas dos dados (4.5×10^9 hits/s).
- Aumento nos danos de radiação (até $5 \times 10^{16} n_{eq}$ a $r = 5$ mm da colisão).
- Precisa manter a performance e resolução espacial.

=> Incluir medidas precisas do tempo (~30 ps resolução por traço)



CERN-LHCC-2017-003



LHCb-TDR-023

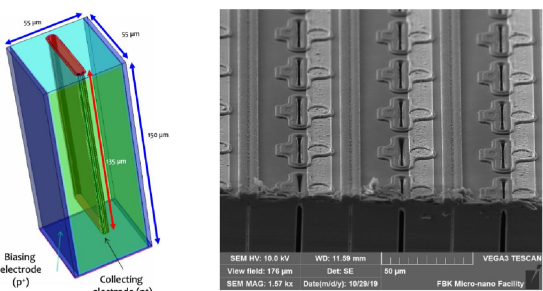




Busca por novas tecnologias de sensores e chips de leitura no LHCb:

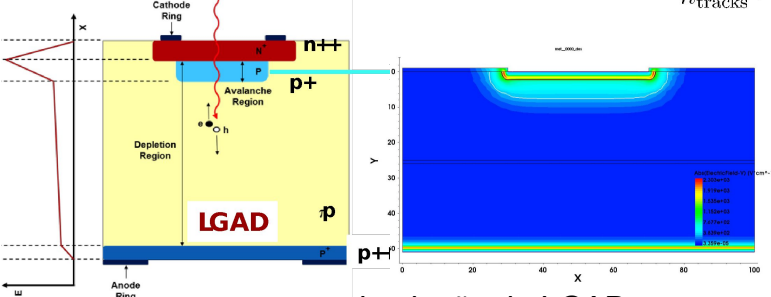
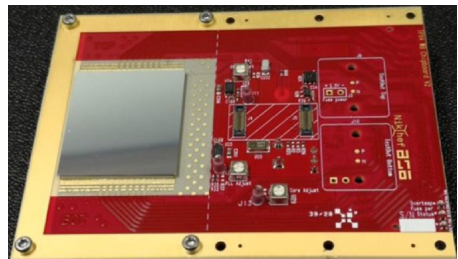
- Timepix-4 tem resolução de 200 ps (Velopix2 ?).
- Sensores 3D TimeSpot (50 ps); ou sensores planos finos.
- Low-Gain Avalanche Detector LGAD (20 ps).
- Cenários considerados para o LHCb VELO: 4D tracking, afastar do ponto da colisão, ou planos de timing.
- Novas soluções em resfriamento (-30°C).
- Temos até 2030 para o Upgrade 2 e o novo detector VELO.

TimeSPOT



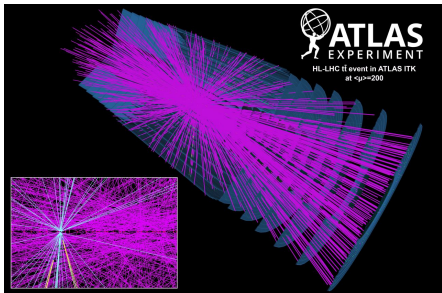
<https://web.infn.it/timespot/>

Timepix4

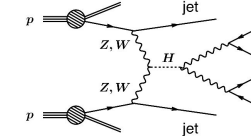
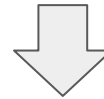


simulação de LGAD

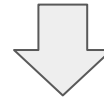
Ultra-fast timing is a key method for exploring HL-LHC physics



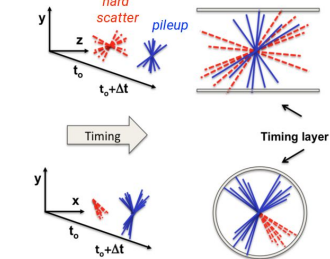
- most of LHC data are expected to come from HL-LHC phase ($\sim 4\text{ab}^{-1}$)
- unprecedented 200 simultaneous p+p collisions at every 25 nanoseconds
- pile-up dominated environment
- very challenging track-vertex association during event reconstruction
- impossible for the central semiconductor tracker to achieve the necessary spatial resolution in forward region crucial for the precision measurements in the Higgs sector (e.g.VBF)



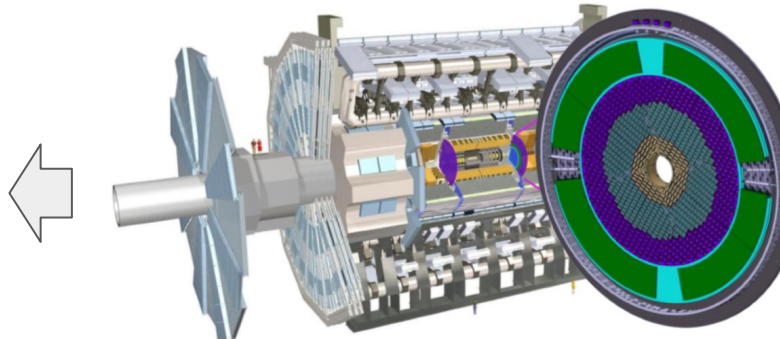
- introduce a 4th dimension (time) in the spatial track reconstruction
- must be capable of < 30 picosecond timing resolution
- high segmentation for track association



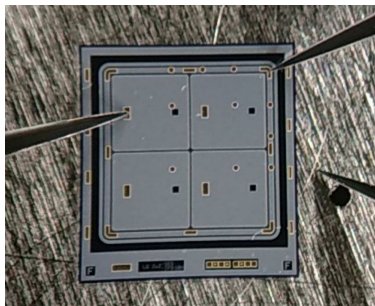
The High Granularity Timing Detector (HGTD)



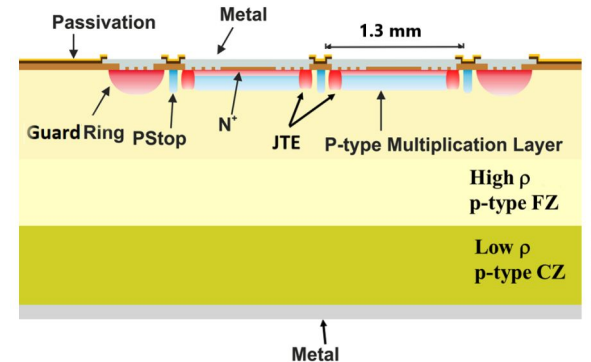
- 8 layers of ultrafast semiconductor sensors
- 16000 15x15 sensor arrays in 3 rings (3.4M channels)
- Total thickness $\sim 12\text{cm}$
- Total radius $\sim 1.1\text{m}$
- very radiation hard
- Needs very thin, very high timing resolution sensors !!



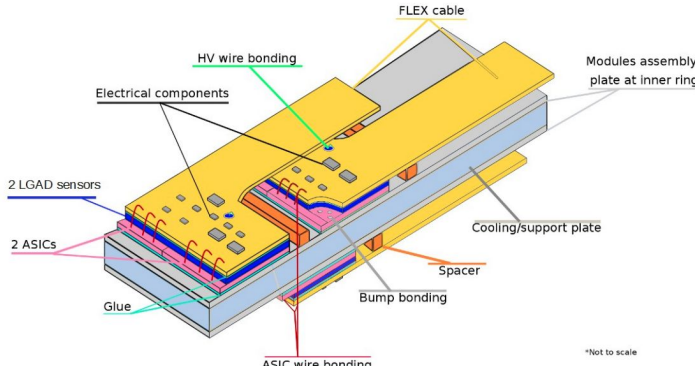
Ultra-fast semiconductor sensor (LGAD) is a key technology for ATLAS HGTD



- Low Gain Avalanche Detector (LGAD)
- state-of-the-art in ultra-fast timing (20-30 ps)
- n-on-p silicon
- highly doped p-layer under junction
- intrinsic charge multiplication, independent of thickness
- "simple" design
- 1.3x1.3mm² (ATLAS HGTD), 1x3 mm² (CMS MIP Timing Detector)
- can be fabricated very hadiation hard
- low material budget
- Production by CNM (Spain), Hamamatsu (Japan), FBK (Italy), Micron (UK), Brookhaven (US), IHEP (China)

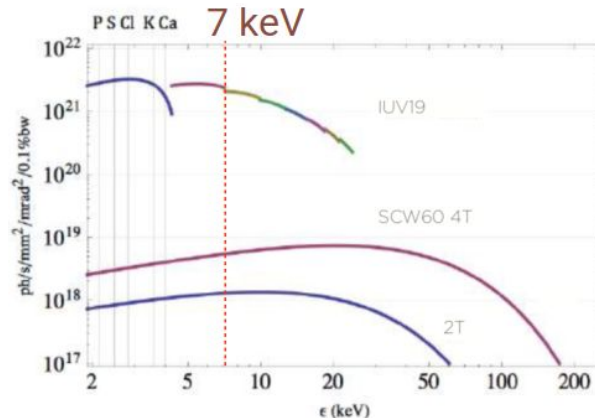
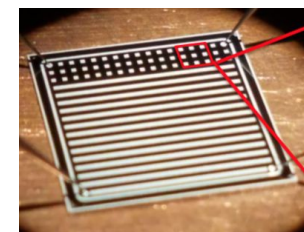


- custom ASIC readout
- flip-chip
- also provides instantaneous bunch by bunch luminosity information



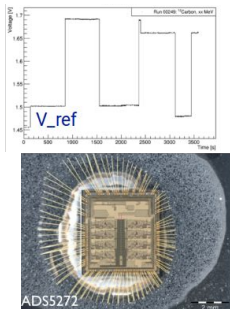
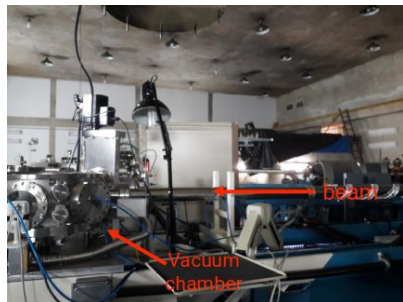
Low Energy Applications

- AC-LGADs
- tens of microns spatial resolution
- sensitive to very low energy X-Rays
- rad hard, ultra fast response
- good energy resolution (S/N)

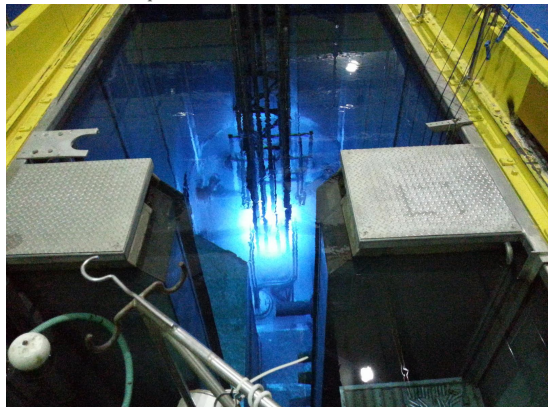


Local Irradiation facilities for Radiation Hard Semiconductor Sensors R&D

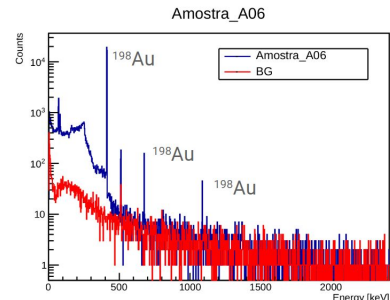
USP Pelletron accelerator: p (14 MeV) to Ag (110MeV)
Device can be tested while irradiated
Ex. COTS ADC tested for ATLAS



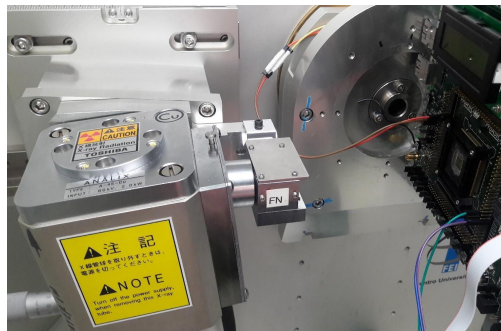
IPEN 5 MW research reactor
 $\sim 10^{12} n_{eq}/cm^2 s$ (up to 10^{13} near core)



Some LGAD Sensors already irradiated @IPEN
 γ spec. used to estimate dose and activation



FEI x-Rays generator
Device can be tested while irradiated



IeAV ^{60}Co source $\sim 36 \text{ Gy/h}$ collimated
Device can be tested while irradiated



IPEN 1 MCu industrial ^{60}Co irradiator



Ultra-fast semiconductor sensor is a key technology for future experiments and applications

Strategic R&D Programme on Technologies for Future Experiments

Input to the European Strategy Group

)

CERN
Experimental Physics Department

December 2018 IN-OPEN-2018-006



3.1 Silicon Detectors (WP1)

Most future experiments will rely on silicon technology for tracking and vertexing. To address the main challenges outlined above, four activities are foreseen.

- Development of **hybrid pixel sensors** with advanced features to be combined with high performance readout ASICs. These developments target small pixels, high-resolution timing and high-rate applications and comprise studies of various planar and LGAD sensor designs, as well as an ASIC development for very high speed and fine timing.



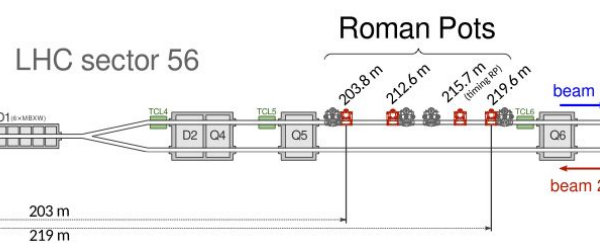
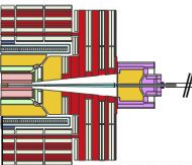
The 10 ps TOF-PET challenge a step toward reconstruction-less TOF-PET

- a spur on the development of fast timing across disciplines and technologies
- an opportunity to collaborate as a community on a complex *final frontier* problem
- an incentive and opportunity to raise further funding
- a way to shed light on advanced nuclear instrumentation for medical imaging and beyond

PDF version of motivations can be found [here](#).

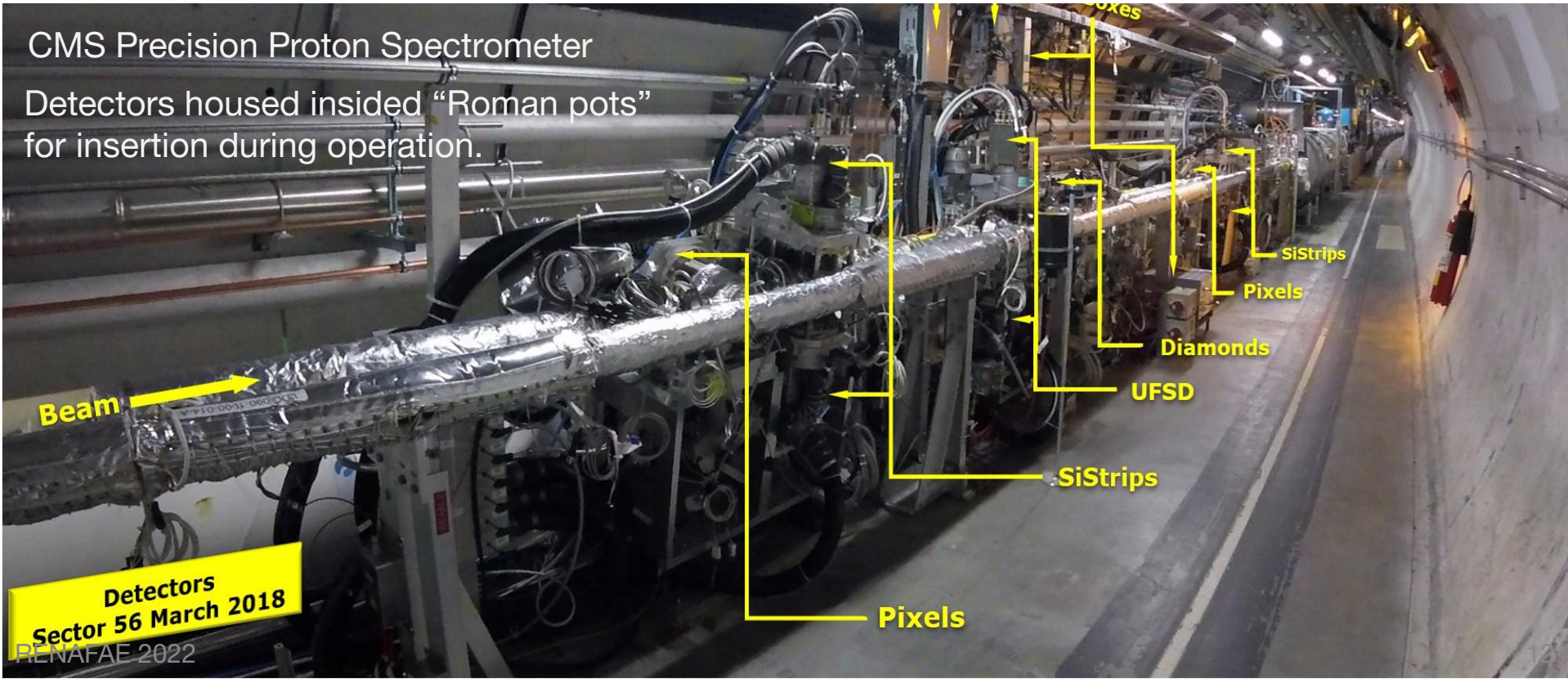
<https://the10ps-challenge.org/>

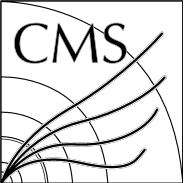
CMS
central detector



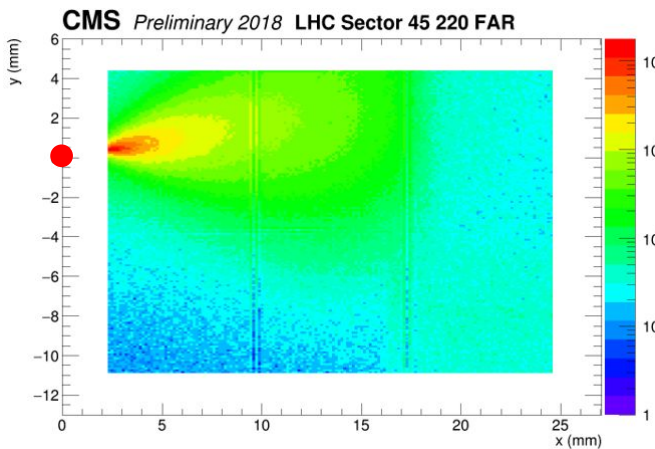
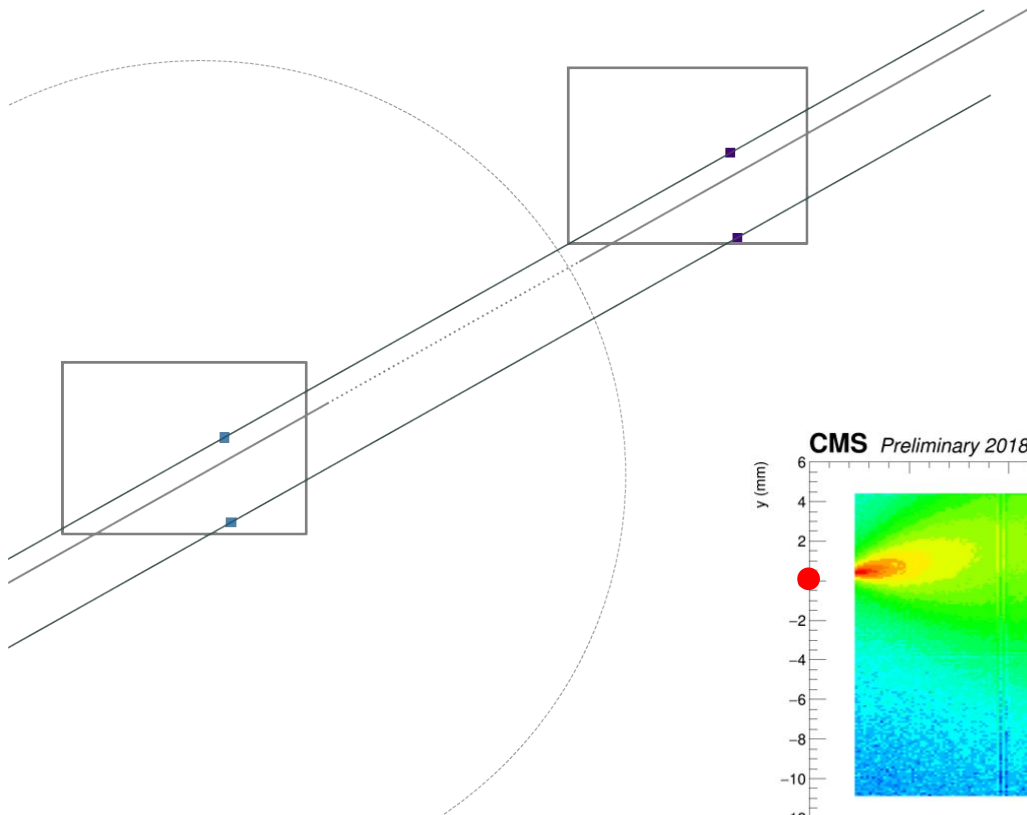
CMS Precision Proton Spectrometer

Detectors housed inside “Roman pots”
for insertion during operation.



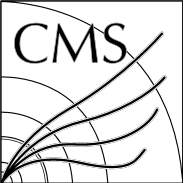


PPS tracking detectors: 3D pixels



Sensor array
(3D pixel)

Large and non-uniform radiation in region close to the beam.



Silicon 3D Pixels

Intrinsic radiation hardness: lifetime up to an integrated flux of $5 \times 10^{15} \text{ p/cm}^2$ (100 fb^{-1})

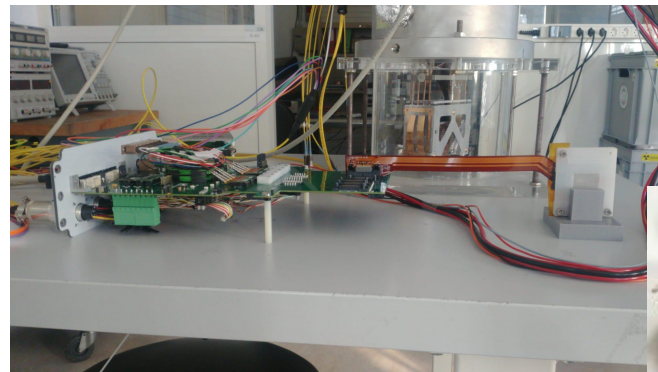
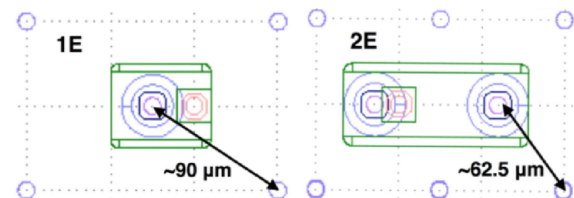
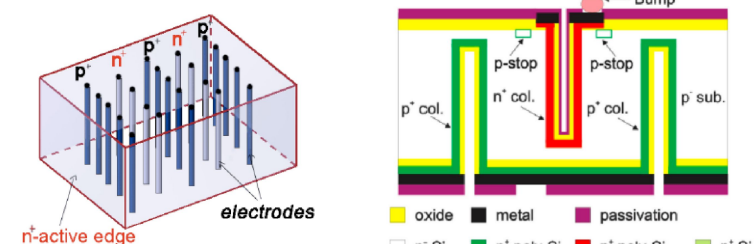
Small inefficiency area at the edge of the sensor (slim edge
 $\sim 200 \mu\text{m}$, depending on bias voltage)

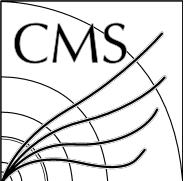
3D sensors in Run 2 (CNM):

- Double side, no passing-through columns
- Sensor thickness: $230 \mu\text{m}$, Depth: $200 \mu\text{m}$, Column diameter: $10 \mu\text{m}$
- Pixel size: $100 \times 150 \mu\text{m}^2$
- 2E & 1E electrode configurations
- Sensors tilted by $\sim 18^\circ$ for better spatial resolution (charge sharing)
- Read-out chip: PSI46dig

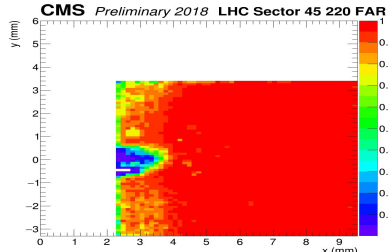
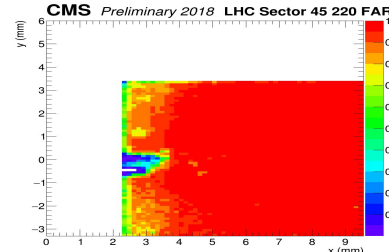
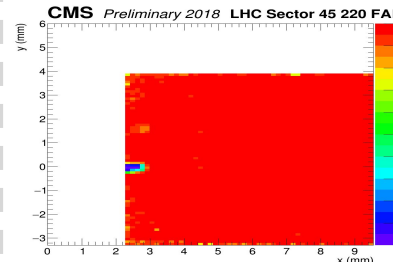
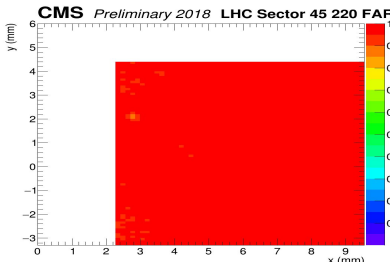
New 3D sensors for Run 3 (FBK):

- Single side, $150 \mu\text{m}$ thickness, 2E electrode configuration
- Read-out: PROC600 (CMS Pixel Layer 1)





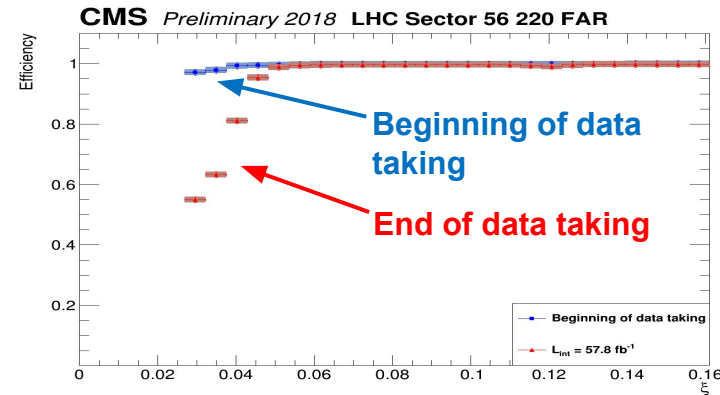
Radiation damage in 3D pixel detectors

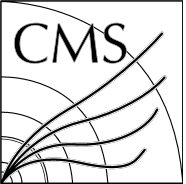
LHC SECTOR
45

Drop in efficiency due to irradiation is clearly visible in the critical region.
Recovery during Run 2 following manual vertical displacements.

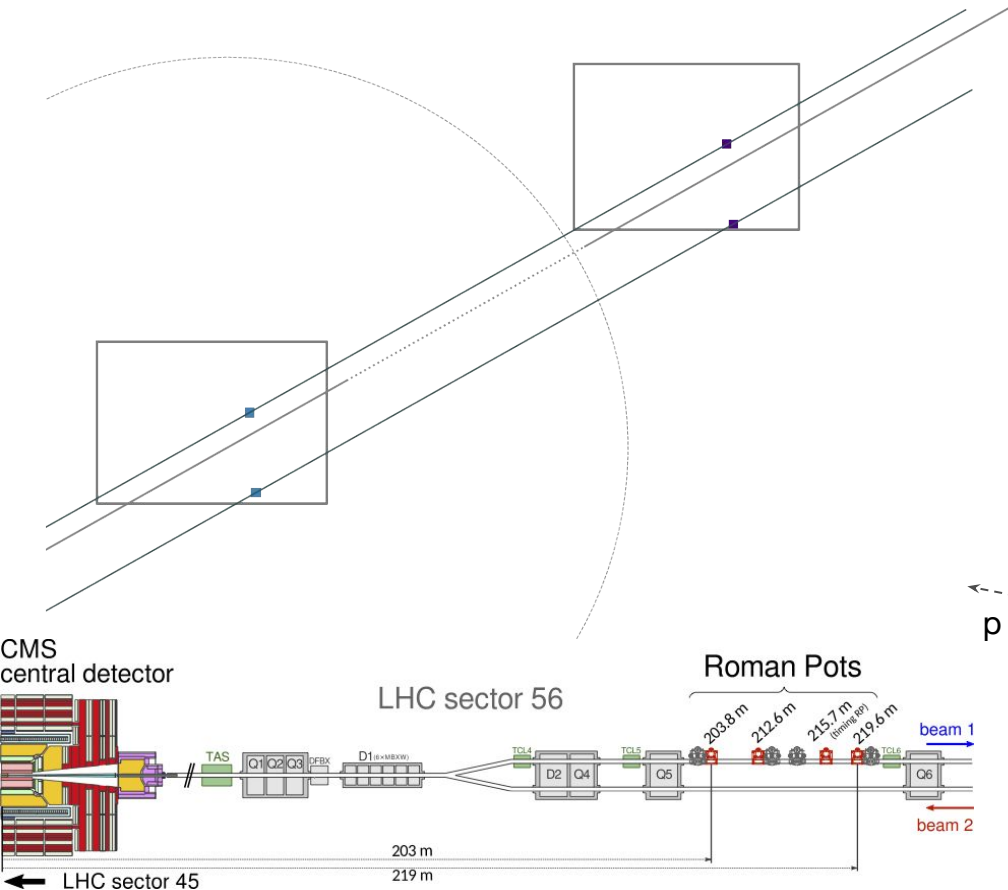
Pixel ROC (PSI46dig) not optimized for non-uniform radiation. Highly irradiated pixels eventually above threshold in different bunch crossing window.

Average efficiency outside radiation peak area: > 95%.

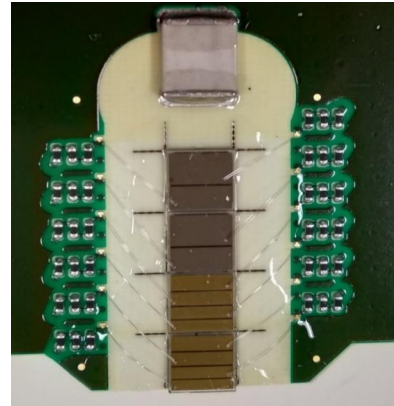




PPS timing detectors



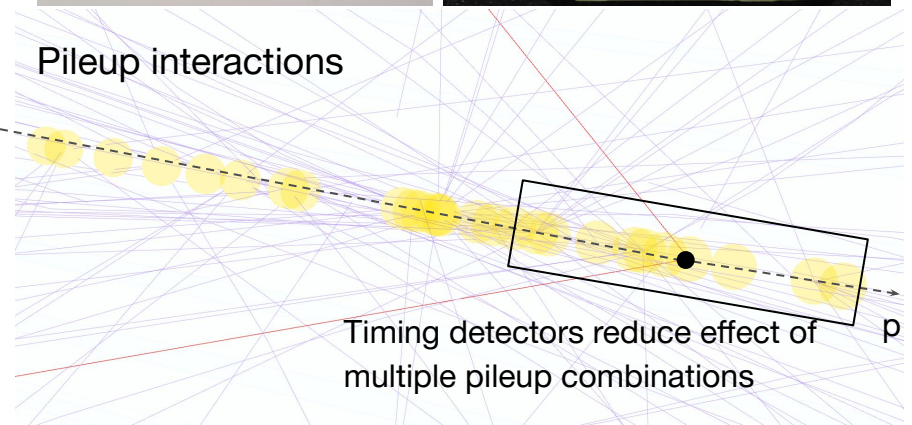
Artificial Diamond
(scCVD)



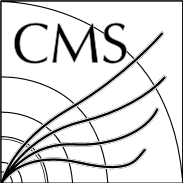
Ultra-fast silicon
detectors (LGAD)



Pileup interactions



Timing detectors reduce effect of
multiple pileup combinations



Artificial diamonds

Ultra pure single crystal CVD Diamonds. Dimensions per crystal: 4.5 x 4.5 x 0.5 mm.

Detector segmentation introduced in metallization phase (Cr 50nm + Au 150nm or TiW 100 nm).

Pads directly connected to pre-amplifier (~0.2 pF with 0.25 μ m bonding wire diameter). Coating in sensitive areas to reduce HV discharges (> 500V).

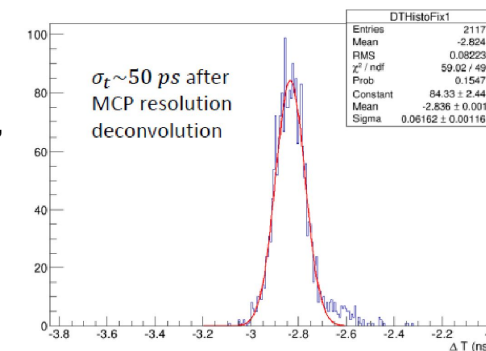
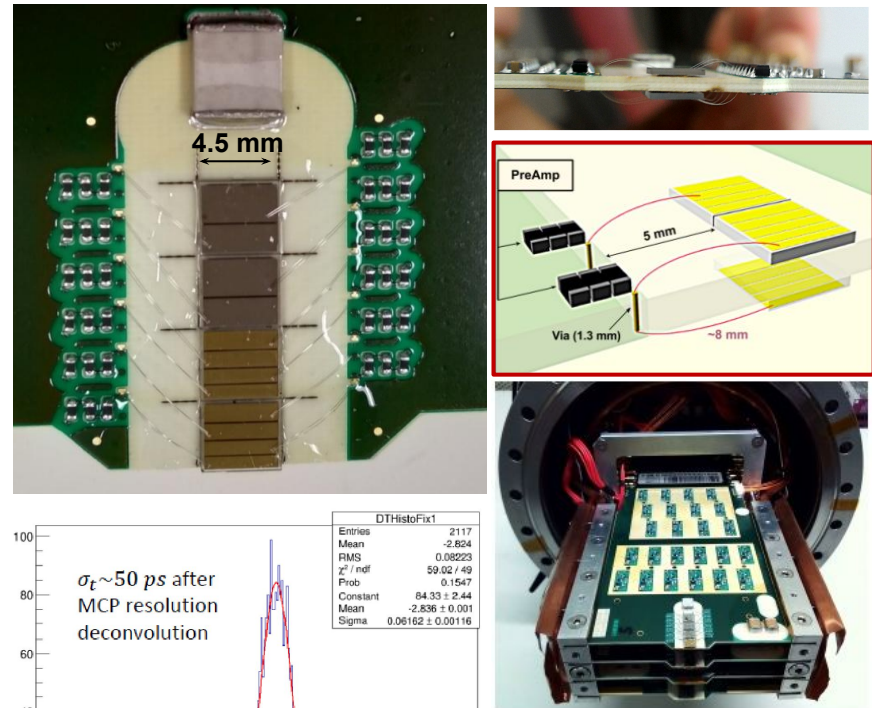
Read-out: NINO (discriminator ASIC) + HPTDC (digitizer board)

Degradation of detector performance during Run 2 due to:

- RF noise pickup inside RP (reduced amplifier gain).
- Beam-induced HV discharges (reduced bias voltage).

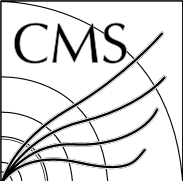
Updates for Run 3:

- New hybrid board: increased distance of amplifier from irradiation peak, improved RF shielding and HV isolation, optimization of pre-amplifier stage. Remote control of the amplifiers gain. Secondary readout with SAMPIC chip (fast sampler @7.8 Gsa/s) for commissioning.
- Each station equipped with 4 double-diamond planes (2SD+2DD in 2018): 8 DD planes in each sector + 70 ps/plane (including digitization): 25 ps/sector.



Time difference distribution between DD and reference MCP ($\sigma_{t,MCP} \sim 40$ ps)

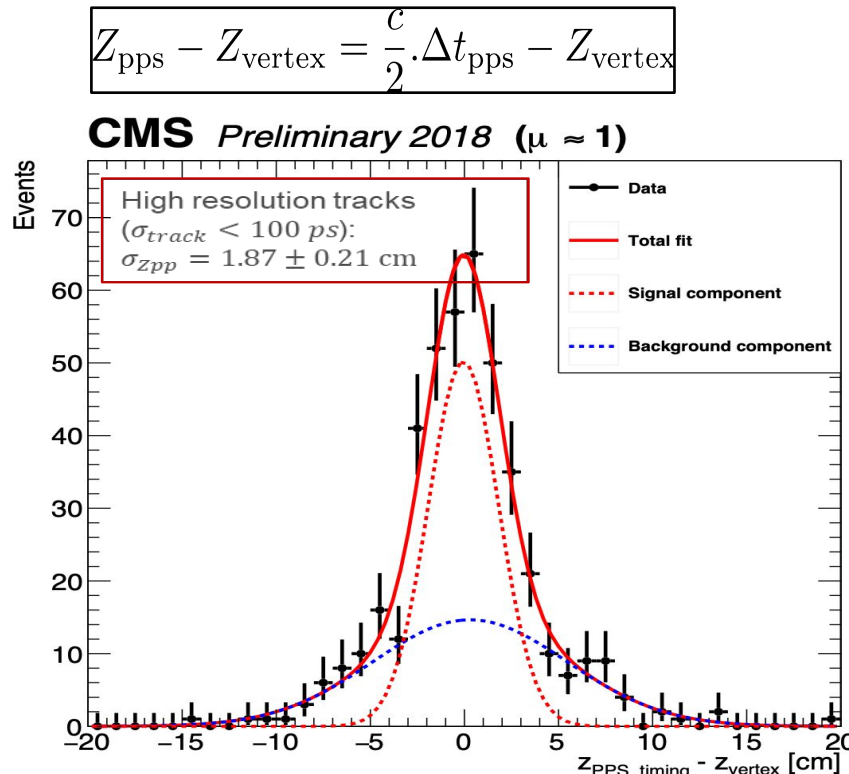
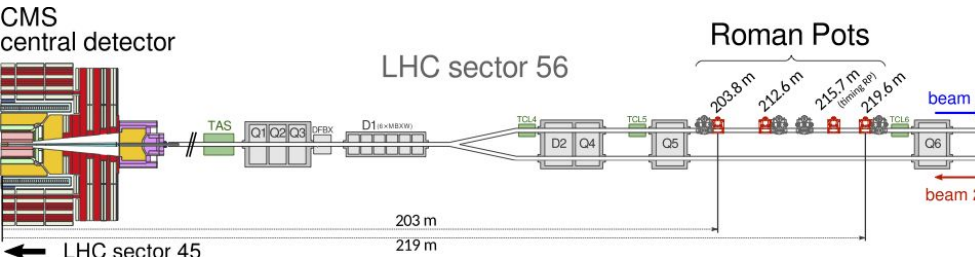
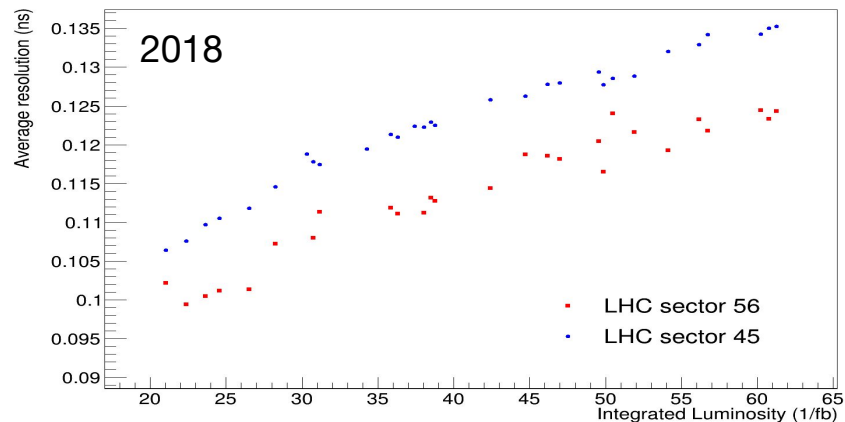
JINST 12 (2017) no.03,
P03026



Timing resolution (Diamond)

Measurement of the full timing station resolution
(2 single + 2 double planes) taking into consideration
the full read-out chain (sensor + amplifier +
digitization + timing calibration + reconstruction)

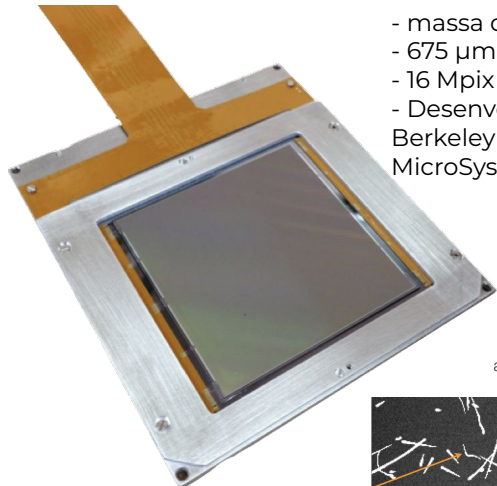
CMS DP 2019/034



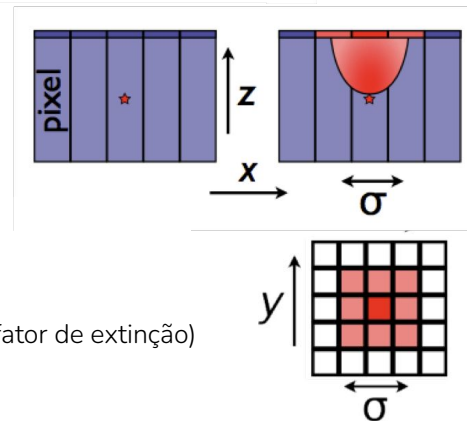
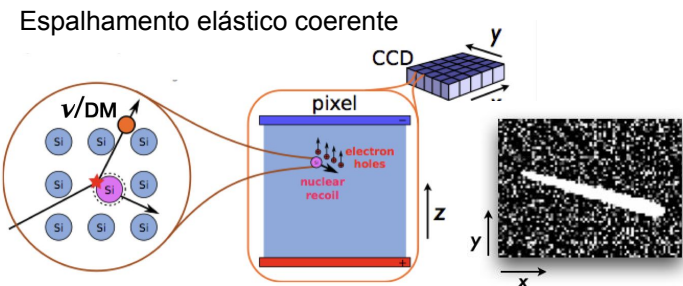
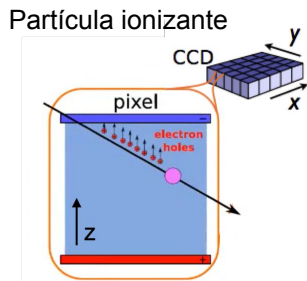
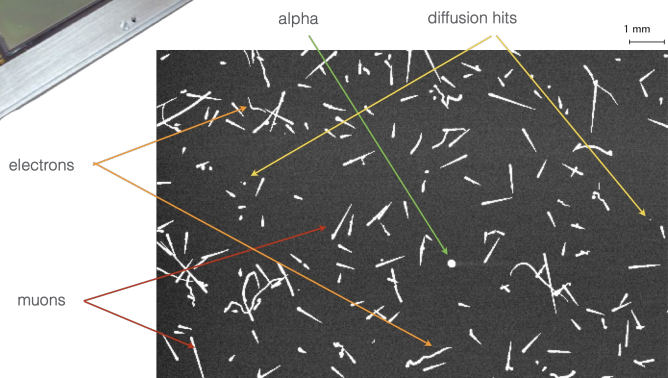
CMS DP 2020/046
CMS PRO-21-001

CCD – Charge Coupled Devices

- Detectores originalmente desenvolvidos para fazer imagens em grandes telescópios
- Também utilizados em física de partículas: detecção de neutrinos e matéria escura (baixíssimo limiar ~ 50 eV)



- massa de 6 g
- $675 \mu\text{m}$ de espessura
- 16 Mpix de $15 \mu\text{m} \times 15 \mu\text{m}$
- Desenvolvidas por Lawrence Berkeley National Laboratory MicroSystems Lab



Vantagem:

O alvo é o próprio detector
Limiar de detecção baixo
Resolução espacial muito boa

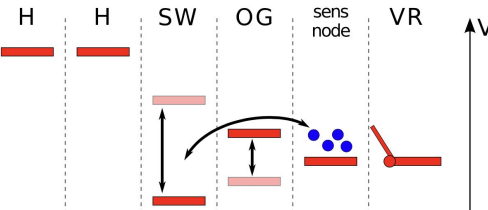
Desafios:

Pequenas energias de ionização
Eficiência de ionização nunca medida (fator de extinção)

Skipper CCD

Nova tecnologia

Permite baixar o limiar de detecção a ~ 10 eV



Múltiplas leituras da carga do mesmo pixel



J. Tiffenberg et al, PRL 119 (2017)

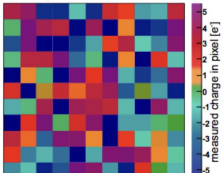
using a detector designed by Stephen Holland (LBNL)

PRL 125, 171802 (2020)

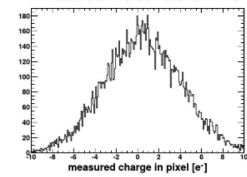
SENSEI DM experiment currently using skipper CCDs

- Contando electrons (0, 1, 2, ...)

Standard CCD mode: charge in each pixel is measured once



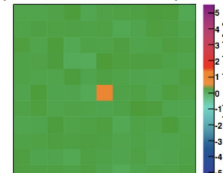
Readout-noise: 3.5 e RMS



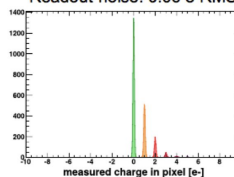
$$N_{\text{readouts}} = 1$$

$$\sigma = 3.5e^-$$

New Skipper CCD: charge in each pixel is measured multiple times

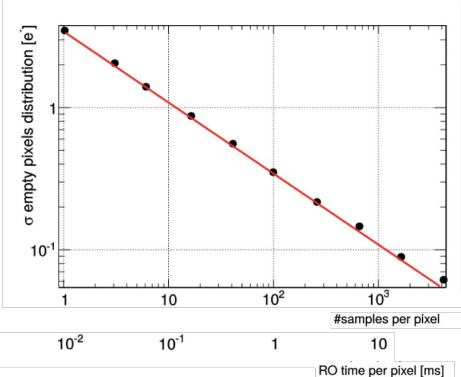


Readout-noise: 0.06 e RMS



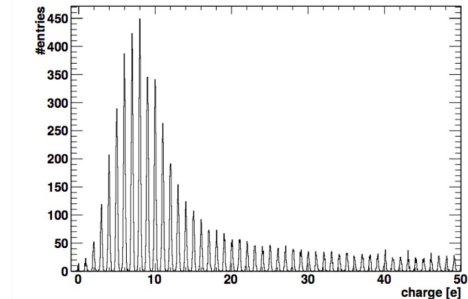
$$N_{\text{readouts}} = 4000$$

$$\sigma = \frac{3.5e^-}{\sqrt{4000}} = 0.06e^-$$



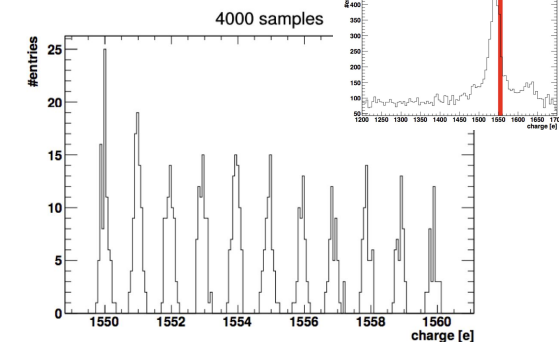
- Contando electrons (... , 48, 49, 50, ...)

4000 samples



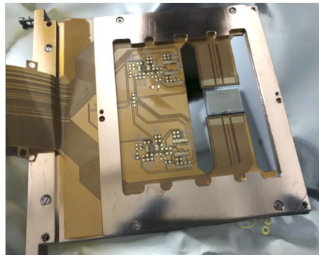
- Contando electrons (... , 1550, 1551, ...)

4000 samples

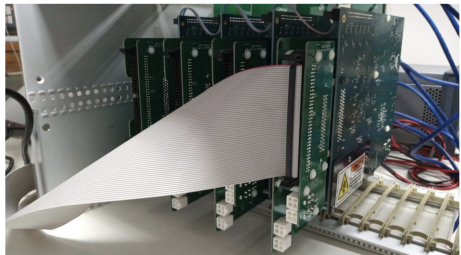


Skipper CCD @ CONNIE e aplicações

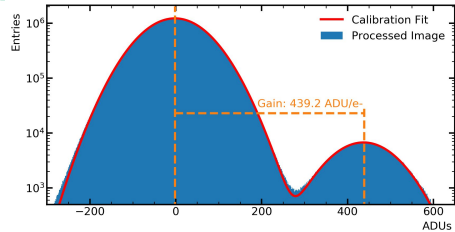
@CONNIE para detecção de neutrinos do reator
de Angra 2 (a nível do mar)



2 Skipper-CCDs de
1022 x 682 pixels

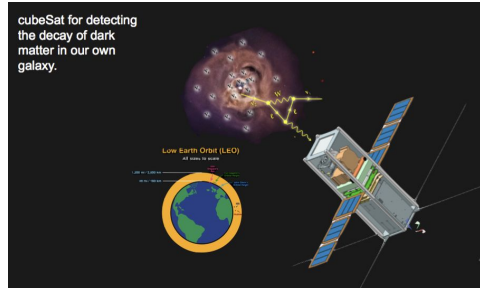


Electrônica de baixo limiar de
detecção (LTA)



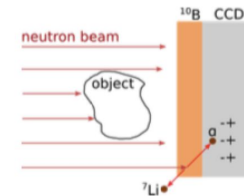
Calibração e medida de elétrons
individuais

- No espaço (detecção do decaimento da DM)

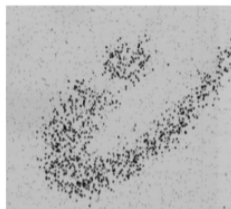


- Neutrografia

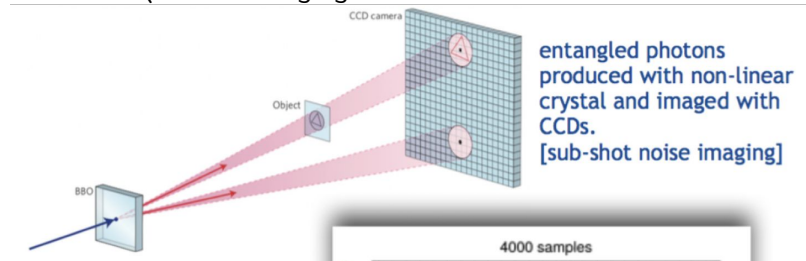
(a) Técnica de neutrografia propuesta



(b) Prueba preliminar con partículas α



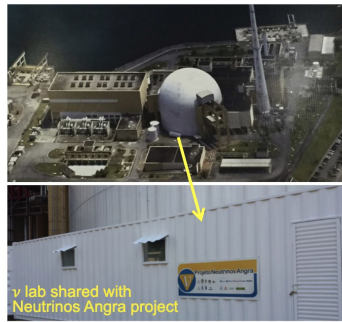
- Quantum imaging



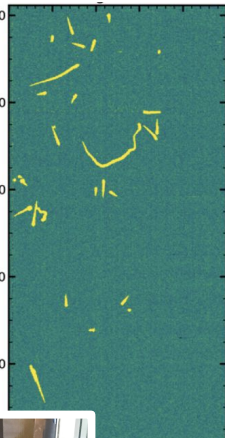
Skipper CCD - No Brasil

@CONNIE para detecção de neutrinos do reator de Angra 2

@CBPF & UFRJ para o desenvolvimento de instrumentação e novas iniciativas



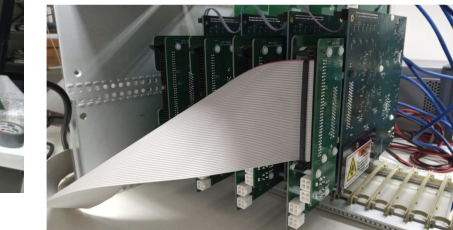
@ Angra 2 - primeiro no mundo



Armazenamento e processamento de dados @ CHE-CBPF



Instalação Skipper - CCDs



Bancada com câmara de vácuo para Skipper CCDs @ UFRJ

Possível estrutura do texto do projeto sobre detectores semicondutores

- Breve introdução a detectores semicondutores
- Breve introdução aos projetos com envolvimento brasileiro que usam detectores semicondutores
- Projetos com envolvimento brasileiro usando LGAD:
 - ATLAS
 - CMS
- Projetos com envolvimento brasileiro usando sensores 3D pixel e Diamond:
 - CMS
- Projetos com envolvimento brasileiro usando detectores híbridos de pixel:
 - LHCb
- Projetos com envolvimento brasileiro usando sensores Skipper CCD:
 - CONNIE
- Possíveis aplicações da tecnologia (vantagens e desvantagens) e envolvimento de empresas e instituições
 - Detecção de matéria escura, neutrinos, fótons, partículas carregadas
 - Imageamento médico
 - Medidas de nêutrons, física nuclear, dosimetria
 - Ótica quântica
 - Indústria aeroespacial
 - ...

Tipos de detectores de silício

Pixel: 3D, Diamante,
LGAD, Híbridos, ...

Skipper CCD

Grupos Brasileiros envolvidos

UERJ
UFRJ
USP
CBPF

Experimentos

ATLAS - CERN - Altas energias
CMS
LHCb
CONNIE - Brasil - Baixas energias

Desafios tecnológicos

Medidas ultrarrápidas do tempo
Eletrônica de leitura rápida
Resistência à radiação
Baixo ruído (detector quântico)
Variadas espessuras
Resolução espacial e geometria
Resfriamento eficiente ...

Aplicações

Aceleradores, Neutrinos, Matéria escura,
Física médica, Física nuclear, Dosimetria,
Ótica quântica, Indústria aeroespacial...

Financiamento brasileiro

